

# Numerická simulace proudění v hydrostatickém ložisku

Martin Hanek

Vedoucí práce

prof. RNDr. Pavel Burda, CSc.

Školitelé specialisti

Ing. Jakub Šístek, PhD., Ing. Eduard Stach

## Abstrakt

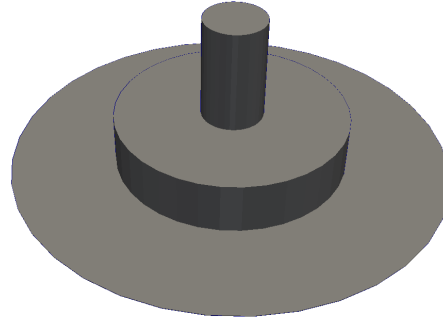
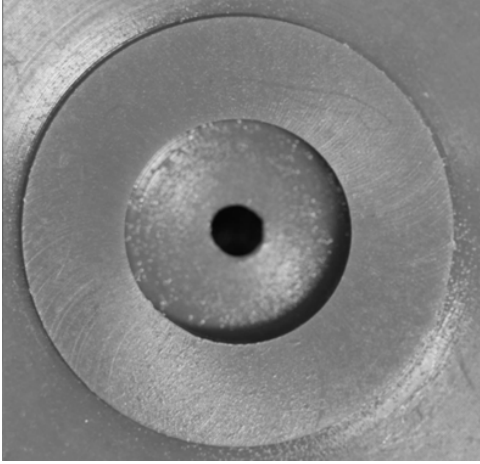
Ve své práci se zabývám numerickým řešením Navierových-Stokesových rovnic pro stacionární proudění v hydrostatickém ložisku pomocí metody konečných prvků. Nejprve se věnuji 2D úloze pro rotačně symetrické proudění a poté se zabývám problematikou řešení 3D úlohy, kde využiji rozklad oblasti na nepřekrývající se podoblasti a předpodmiňovač BDDC.

## Klíčová slova

hydrostatické ložisko, Navierovy-Stokesovy rovnice, metoda konečných prvků, BDDC

## 1 Úvod

Ve své práci se zabývám numerickou simulací stacionárního nestlačitelného proudění uvnitř hydrostatického ložiska v hydrostatickém vedení pomocí metody konečných prvků. Problematicou hydrostatického vedení se zabývají na Ústavu výrobních strojů a zařízení fakulty strojní ČVUT v Praze (více o této problematice viz Holkup a kol. [3]). Tato práce vychází z mé bakalářské práce, v níž jsem se zabýval rotačně symetrickou 2D úlohou a jejíž výsledky zde mimo jiné prezentuji (více viz Hanek [4]). Tato úloha odpovídá vedení v klidu a její výsledky jsem měl možnost ověřit experimentem. Dále se zabývám problematikou řešení 3D úlohy, a tedy i úlohou s pohybem dolním stěny, kde pro numerický výpočet využiji rozklad oblasti a předpodmiňovač BDDC (Ballancing Domain Decomposition by Constraints). Nejprve se v 2. kapitole věnuji slabé formulaci úloh. Ve 3. kapitole se zabývám použitím metody konečných prvků pro oba typy úloh. Kapitola 4. pak ukazuje použití rozkladu oblasti a způsob použití BDDC pro 3D úlohu a v 5. kapitole pak uvádím numerické výsledky jednotlivých úloh. Výpočty provádím pro ložisko s rotačně symetrickou hydrostatickou kapsou, což je oblast, ve které proudí tekutina. Na Obrázku 1 je pro ilustraci fotografie reálné kapsy a 3D model její oblasti řešení.



Obrázek 1: Hydrostatická kapsa (vlevo) a model 3D oblasti tekutiny (vpravo)

## 2 Slabá formulace úlohy

Ve svých výpočtech uvažuji stacionární nestlačitelné proudění. To odpovídá Navierovým-Stokesovým rovnicím ve tvaru ( např. [1])

$$(\mathbf{u} \cdot \nabla)\mathbf{u} - \nu \Delta \mathbf{u} + \nabla p = \mathbf{f} \quad \text{v } \Omega, \quad (1)$$

$$\nabla \cdot \mathbf{u} = 0 \quad \text{v } \Omega, \quad (2)$$

kde  $\mathbf{u}$  je neznámý vektor rychlosti,  $p$  je neznámý tlak,  $\nu$  je daná kinematická viskozita tekutiny,  $\mathbf{f}$  je známý vektor objemových sil a  $\Omega$  je oblast na které úlohu řeším.

Při odvození slabé formulace rotačně symetrické 2D úlohy vyjdu ze slabé formulace 3D úlohy a proto jí v této kapitole uvádím jako první.

### 2.1 3D úloha

Při slabé formulaci přenásobíme rovnice (1) a (2) testovacími funkcemi  $\mathbf{v} \in (H^1(\Omega))^3$  a  $q \in L^2(\Omega)$  a integrací přes oblast  $\Omega$  dostáváme

$$\int_{\Omega} (\mathbf{u} \cdot \nabla)\mathbf{u} \cdot \mathbf{v} d\Omega - \nu \int_{\Omega} \Delta \mathbf{u} \cdot \mathbf{v} d\Omega + \int_{\Omega} \nabla p \cdot \mathbf{v} d\Omega = \int_{\Omega} \mathbf{f} \cdot \mathbf{v} d\Omega, \quad \mathbf{v} \in (H^1(\Omega))^3,$$

$$\int_{\Omega} q \nabla \cdot \mathbf{u} d\Omega = 0, \quad q \in L^2(\Omega),$$

a aplikací Greenovi věty získáme výslednou slabou formulaci ve tvaru:

Hledáme  $\mathbf{u} \in (H^1(\Omega))^3$  a  $p \in L^2(\Omega)$ , tak aby

$$\int_{\Omega} (\mathbf{u} \cdot \nabla) \mathbf{u} \cdot \mathbf{v} d\Omega - \nu \int_{\Gamma} (\nabla \mathbf{u}) \mathbf{v} \cdot \mathbf{n} d\Gamma + \nu \int_{\Omega} \nabla \mathbf{u} : \nabla \mathbf{v} d\Omega + \quad (3)$$

$$+ \int_{\Gamma} p \mathbf{v} \cdot \mathbf{n} d\Gamma - \int_{\Omega} p \nabla \cdot \mathbf{v} d\Omega = \int_{\Omega} \mathbf{f} \cdot \mathbf{v} d\Omega, \quad \forall \mathbf{v} \in (H^1(\Omega))^3, \quad (4)$$

$$\int_{\Omega} q \nabla \cdot \mathbf{u} d\Omega = 0, \quad \forall q \in L^2(\Omega). \quad (5)$$

## 2.2 Rotačně symetrická úloha

Slabou formulaci pro rotačně symetrickou 2D úlohu jsem odvodil ze slabé formulace 3D úlohy. To provedu rozepsáním slabé formulace 3D úlohy do jednotlivých složek a následně transformaci do válcových souřadnic. Celé toto odvození a i druhý způsob získání slabé formulace z N-S rovnic pro rotačně symetrické proudění (viz Šístek [5]) s následným využitím váhových prostorů je uvedeno v mé bakalářské práci (viz Hanek [4]). Výsledná slabá formulace pro rotačně symetrickou 2D úlohu je tedy:

Hledáme  $u_r, u_a \in H_r^1(\Omega)$  a  $p \in L_r^2(\Omega)$ , tak aby

$$\int_{\Omega} \left( u_r \frac{\partial u_a}{\partial r} v_a r + u_a \frac{\partial u_a}{\partial w} v_a r \right) d\Omega + \nu \int_{\Omega} \left( \frac{\partial u_a}{\partial r} \frac{\partial v_a}{\partial r} r + \frac{\partial u_a}{\partial w} \frac{\partial v_a}{\partial w} r \right) d\Omega -$$

$$- \nu \int_{\Gamma} \left( \frac{\partial u_a}{\partial r} v_a n_r r + \frac{\partial u_a}{\partial w} v_a n_w r \right) d\Gamma - \int_{\Omega} p \frac{\partial v_a}{\partial w} r d\Omega + \int_{\Gamma} p v_a n_w r d\Gamma = \int_{\Omega} f_w v_a r d\Omega, \quad \forall v_a \in H_r^1(\Omega), \quad (6)$$

$$\int_{\Omega} \left( u_r \frac{\partial u_r}{\partial r} v_r r + u_a \frac{\partial u_r}{\partial w} v_r r \right) d\Omega + \nu \int_{\Omega} \left( \frac{\partial u_r}{\partial r} \frac{\partial v_r}{\partial r} r + \frac{\partial u_r}{\partial w} \frac{\partial v_r}{\partial w} r + \frac{u_r}{r} v_r \right) d\Omega - \nu \int_{\Gamma} \left( \frac{\partial u_r}{\partial r} v_r n_r r + \frac{\partial u_r}{\partial w} v_r n_w r \right) d\Gamma$$

$$- \int_{\Omega} \left( p v_r + p \frac{\partial v_r}{\partial r} r \right) d\Omega + \int_{\Gamma} p v_r n_r r d\Gamma = \int_{\Omega} f_r v_r r d\Omega, \quad \forall v_r \in H_r^1(\Omega), \quad (7)$$

$$- \int_{\Omega} \left( \frac{\partial u_r}{\partial r} q r + u_r q + \frac{\partial u_a}{\partial w} q r \right) d\Omega = 0, \quad \forall q \in L_r^2(\Omega). \quad (8)$$

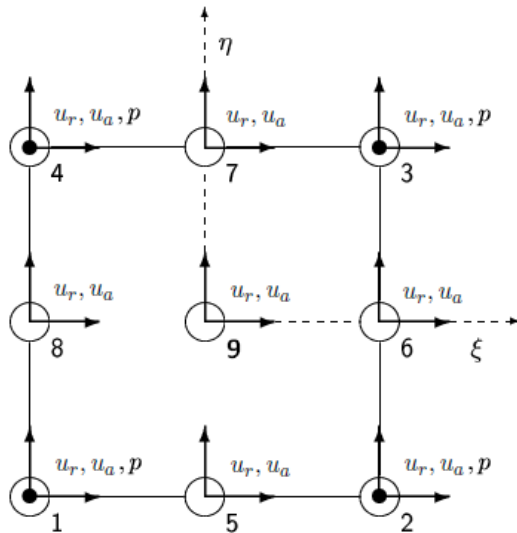
## 3 Metoda konečných prvků

Při řešení Navierových-Stokesových rovnic je důležité vhodné zvolení funkčních prostorů pro rychlost a tlak. Metoda konečných prvků využívá k aproximaci polynomy různého stupně. Pro řešení Navierových-Stokesových rovnic aproximujeme na každém prvku rychlost polynomem 2. stupně a tlak polynomem 1. stupně.

Následující vlastnosti požadovaného řešení jsou spojeny se slabou formulací Navierových-Stokesových rovnic:

- každá složka rychlosti je funkce integrovatelná s kvadrátem podle  $\mathbf{x}$  a má minimálně první zobecněnou derivaci podle libovolné souřadnice integrovatelnou s kvadrátem (prostor  $H^1(\Omega)$ )
- tlak je funkce integrovatelná s kvadrátem podle  $\mathbf{x}$  (prostor  $L^2(\Omega)$ )

Existuje několik typů konečných prvků, jejichž pomocí lze řešit Navierovy-Stokesovy rovnice. Ve svém výpočtu používám Taylorovy-Hoodovy čtyřúhelníkové konečné prvky. Tyto prvky jsou pro 2D úlohu obecně čtyřúhelníky kde aproximují tlak v jeho vrcholech a rychlost ve vrcholech, středech stran a uprostřed prvku (viz Obrázek 2). Pro 3D úlohu to jsou šestistěny, kde opět aproximují tlak v jeho vrcholech a rychlost navíc ještě ve středu každé hrany.



Obrázek 2: Taylorův-Hoodův referenční prvek ve 2D

### 3.1 Sestavení systému algebraických rovnic

Při sestavování systému algebraických rovnic pro oba typy úloh dosadím do slabé formulace za konečně prvkové funkce rychlosti a tlaku lineární kombinace bázových funkcí a dostanu výslednou nelineární soustavu rovnic ve tvaru

$$\begin{bmatrix} \nu \mathbf{A}(\mathbf{u}) + \mathbf{N} & B^T \\ B & 0 \end{bmatrix} \begin{bmatrix} \mathbf{u} \\ p \end{bmatrix} = \begin{bmatrix} \mathbf{f} \\ \mathbf{0} \end{bmatrix}, \quad (9)$$

kde  $\mathbf{u}$  je vektor neznámých rychlostí,  $p$  je vektor neznámých tlaků,  $\mathbf{A}$  je matice difuze,  $\mathbf{N}$  je matice advekce,  $B$  je matice od rovnice kontinuity a  $\mathbf{f}$  je diskretní vektor intenzity objemových sil. Matice  $\mathbf{A}$ ,  $\mathbf{N}$  a  $B$  sestavíme takto (viz Elman, Silvester a Wathen [2])

$$\mathbf{A} = [\mathbf{a}_{ij}], \quad \mathbf{a}_{ij} = \int_{\Omega} \nabla \vec{\varphi}_i : \nabla \vec{\varphi}_j, \quad (10)$$

$$\mathbf{N} = [\mathbf{n}_{ij}], \quad \mathbf{n}_{ij} = \int_{\Omega} (\vec{u}_h \cdot \nabla \vec{\varphi}_j) \cdot \vec{\varphi}_i, \quad (11)$$

$$B = [b_{ij}], \quad b_{ij} = - \int_{\Omega} \psi_i \nabla \cdot \vec{\varphi}_j, \quad (12)$$

kde  $\vec{\varphi}_i$  je bázová funkce rychlosti a  $\psi_i$  je bázová funkce tlaku.

Soustava (9) je díky matici  $\mathbf{A}$  nelineární a pro její linearizaci využívám Picardovu iteraci, která vede na systém rovnic ve tvaru

$$\begin{bmatrix} \nu \mathbf{A}(\mathbf{u}^k) + \mathbf{N} & B^T \\ B & 0 \end{bmatrix} \begin{bmatrix} \mathbf{u}^{k+1} \\ p^{k+1} \end{bmatrix} = \begin{bmatrix} \mathbf{f} \\ \mathbf{0} \end{bmatrix}, \quad (13)$$

kde  $\mathbf{A}(\mathbf{u}^k)$  znamená, že linearizují matici  $\mathbf{A}$  pomocí řešení v předchozím kroku. Tuto, již lineární soustavu, řeším ve 2D přímou metodou (pomocí LU rozkladu pro řídké matice), zatímco ve 3D vzhledem k velikosti úlohy využiji iterační metodu dělení oblasti BDDC.

## 4 Rozklad oblasti a předpodmiňovač BDDC

Pro výpočet 3D úlohy využijeme rozkladu oblasti na několik podoblastí. Použijeme rozklad bez překryvu jednotlivých podoblastí a v systému rovnic (13) si přečísľujeme složky neznámých vektorů  $\mathbf{u}$  a  $p$  tak, že složky odpovídající uzlům na rozhraní očísľuji jako poslední. To vede na následující systém rovnic

$$\begin{bmatrix} \nu \mathbf{A}_{11} + \mathbf{N}_{11} & \nu \mathbf{A}_{12} + \mathbf{N}_{12} & B_{11}^T & B_{21}^T \\ \nu \mathbf{A}_{21} + \mathbf{N}_{21} & \nu \mathbf{A}_{22} + \mathbf{N}_{22} & B_{12}^T & B_{22}^T \\ B_{11} & B_{12} & 0 & 0 \\ B_{21} & B_{22} & 0 & 0 \end{bmatrix} \begin{bmatrix} \mathbf{u}_1 \\ \mathbf{u}_2 \\ p_1 \\ p_2 \end{bmatrix} = \begin{bmatrix} \mathbf{f}_1 \\ \mathbf{f}_2 \\ \mathbf{0} \\ \mathbf{0} \end{bmatrix}, \quad (14)$$

kde index 1 značí část týkající se vnitřku oblastí a index 2 část odpovídající uzlům na rozhraní, přičemž každá matice odpovídající prvkům matice z levé strany této rovnice je sestavena z bloků odpovídajících jednotlivým podoblastem. Pro použití předpodmiňovače BDDC převedu tento systém na řešení na rozhraní a na řešení uvnitř podoblastí (viz Šístek a kol. [6]).

Nejprve si přepíšeme systém (14) do následujícího tvaru

$$\begin{bmatrix} \nu \mathbf{A}_{11} + \mathbf{N}_{11} & B_{11}^T & \nu \mathbf{A}_{12} + \mathbf{N}_{12} & B_{21}^T \\ B_{11} & 0 & B_{12} & 0 \\ \nu \mathbf{A}_{21} + \mathbf{N}_{21} & B_{12}^T & \nu \mathbf{A}_{22} + \mathbf{N}_{22} & B_{22}^T \\ B_{21} & 0 & B_{22} & 0 \end{bmatrix} \begin{bmatrix} \mathbf{u}_1 \\ p_1 \\ \mathbf{u}_2 \\ p_2 \end{bmatrix} = \begin{bmatrix} \mathbf{f}_1 \\ \mathbf{0} \\ \mathbf{f}_2 \\ \mathbf{0} \end{bmatrix},$$

a po roznásobení po blocích pro vnitřní neznámé a pro neznámé na rozhraní dostáváme

$$\begin{bmatrix} \nu \mathbf{A}_{11} + \mathbf{N}_{11} & B_{11}^T \\ B_{11} & 0 \end{bmatrix} \begin{bmatrix} \mathbf{u}_1 \\ p_1 \end{bmatrix} + \begin{bmatrix} \nu \mathbf{A}_{12} + \mathbf{N}_{12} & B_{21}^T \\ B_{12} & 0 \end{bmatrix} \begin{bmatrix} \mathbf{u}_2 \\ p_2 \end{bmatrix} = \begin{bmatrix} \mathbf{f}_1 \\ \mathbf{0} \end{bmatrix},$$

$$\begin{bmatrix} \nu \mathbf{A}_{21} + \mathbf{N}_{21} & B_{12}^T \\ B_{21} & 0 \end{bmatrix} \begin{bmatrix} \mathbf{u}_1 \\ p_1 \end{bmatrix} + \begin{bmatrix} \nu \mathbf{A}_{22} + \mathbf{N}_{22} & B_{22}^T \\ B_{22} & 0 \end{bmatrix} \begin{bmatrix} \mathbf{u}_2 \\ p_2 \end{bmatrix} = \begin{bmatrix} \mathbf{f}_2 \\ \mathbf{0} \end{bmatrix}.$$

Z první rovnice si poté vyjádříme vektor

$$\begin{bmatrix} \mathbf{u}_1 \\ p_1 \end{bmatrix} = \begin{bmatrix} \nu \mathbf{A}_{11} + \mathbf{N}_{11} & B_{11}^T \\ B_{11} & 0 \end{bmatrix}^{-1} \begin{bmatrix} \mathbf{f}_1 \\ \mathbf{0} \end{bmatrix} - \begin{bmatrix} \nu \mathbf{A}_{11} + \mathbf{N}_{11} & B_{11}^T \\ B_{11} & 0 \end{bmatrix}^{-1} \begin{bmatrix} \nu \mathbf{A}_{12} + \mathbf{N}_{12} & B_{21}^T \\ B_{12} & 0 \end{bmatrix} \begin{bmatrix} \mathbf{u}_2 \\ p_2 \end{bmatrix}, \quad (15)$$

který dosadíme do druhé rovnice a dostaneme systém

$$\begin{aligned} & \begin{bmatrix} \nu \mathbf{A}_{21} + \mathbf{N}_{21} & B_{12}^T \\ B_{21} & 0 \end{bmatrix} \begin{bmatrix} \nu \mathbf{A}_{11} + \mathbf{N}_{11} & B_{11}^T \\ B_{11} & 0 \end{bmatrix}^{-1} \begin{bmatrix} \mathbf{f}_1 \\ \mathbf{0} \end{bmatrix} - \\ - & \begin{bmatrix} \nu \mathbf{A}_{21} + \mathbf{N}_{21} & B_{12}^T \\ B_{21} & 0 \end{bmatrix} \begin{bmatrix} \nu \mathbf{A}_{11} + \mathbf{N}_{11} & B_{11}^T \\ B_{11} & 0 \end{bmatrix}^{-1} \begin{bmatrix} \nu \mathbf{A}_{12} + \mathbf{N}_{12} & B_{21}^T \\ B_{12} & 0 \end{bmatrix} \begin{bmatrix} \mathbf{u}_2 \\ p_2 \end{bmatrix} + \begin{bmatrix} \nu \mathbf{A}_{22} + \mathbf{N}_{22} & B_{22}^T \\ B_{22} & 0 \end{bmatrix} \begin{bmatrix} \mathbf{u}_2 \\ p_2 \end{bmatrix} = \begin{bmatrix} \mathbf{f}_2 \\ \mathbf{0} \end{bmatrix}. \end{aligned}$$

Ten odpovídá rovnici

$$S \begin{bmatrix} \mathbf{u}_2 \\ p_2 \end{bmatrix} = g, \quad (16)$$

kde

$$g = \begin{bmatrix} \mathbf{f}_2 \\ \mathbf{0} \end{bmatrix} - \begin{bmatrix} \nu \mathbf{A}_{21} + \mathbf{N}_{21} & B_{12}^T \\ B_{21} & 0 \end{bmatrix} \begin{bmatrix} \nu \mathbf{A}_{11} + \mathbf{N}_{11} & B_{11}^T \\ B_{11} & 0 \end{bmatrix}^{-1} \begin{bmatrix} \mathbf{f}_1 \\ \mathbf{0} \end{bmatrix}$$

je redukována pravá strana a

$$S = \begin{bmatrix} \nu \mathbf{A}_{22} + \mathbf{N}_{22} & B_{22}^T \\ B_{22} & 0 \end{bmatrix} - \begin{bmatrix} \nu \mathbf{A}_{21} + \mathbf{N}_{21} & B_{12}^T \\ B_{21} & 0 \end{bmatrix} \begin{bmatrix} \nu \mathbf{A}_{11} + \mathbf{N}_{11} & B_{11}^T \\ B_{11} & 0 \end{bmatrix}^{-1} \begin{bmatrix} \nu \mathbf{A}_{12} + \mathbf{N}_{12} & B_{21}^T \\ B_{12} & 0 \end{bmatrix}$$

je tzv. Schurův doplněk. Úlohu (16) řešíme iteračně pomocí metody BiCGstab a jako předpodmiňovač užíváme jeden krok metody BDDC. Po vyřešení systému (16) dosadíme řešení na rozhraní do systému (15) a získáme řešení uvnitř podoblastí. Díky rozdělení na podoblasti lze akci předpodmiňovače BDDC stejně jako násobení maticí  $S$  v každém kroku iterační metody paralelizovat a tím urychlit výpočetní čas.

## 5 Numerické výsledky

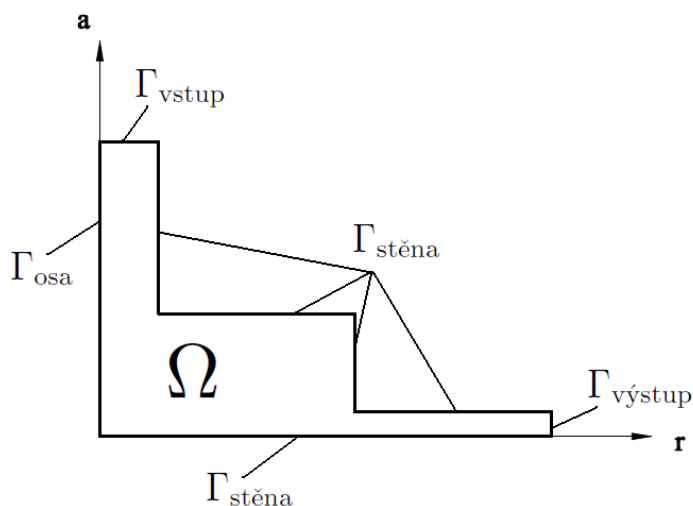
Prvním krokem při numerické simulaci pro oba typy úloh je vytvoření sítě konečných prvků. K tomu využijí volně dostupný program GMSH [7]. Dále je nutno stanovit okrajové podmínky pro naši úlohu a tyto vstupní data zadat do výpočtového programu. Pro výpočet využijí kolekci šablon C++ pro metodu konečných prvků v mechanice tekutin, která mi byla poskytnuta, a kterou jsem pro 2D případ rozšířil o implementaci rotačně symetrické úlohy. Všechny výsledky budou zpracovány ve formě 3D nebo 2D grafů proudnic a 3D grafů průběhu tlaku a rychlosti.

## 5.1 2D úloha

Tímto typem úlohy jsem se zabýval v mé bakalářské práci a zde prezentuji jen některé její výsledky (více viz Hanek [4]). Úloha odpovídá vedení v klidu a její výsledky jsem měl možnost ověřit experimentem.

### 5.1.1 Okrajové podmínky

Vzhledem k rotační symetrii úlohy vypadá oblast  $\Omega$  následovně:



Obrázek 3: Oblast  $\Omega$  a její hranice

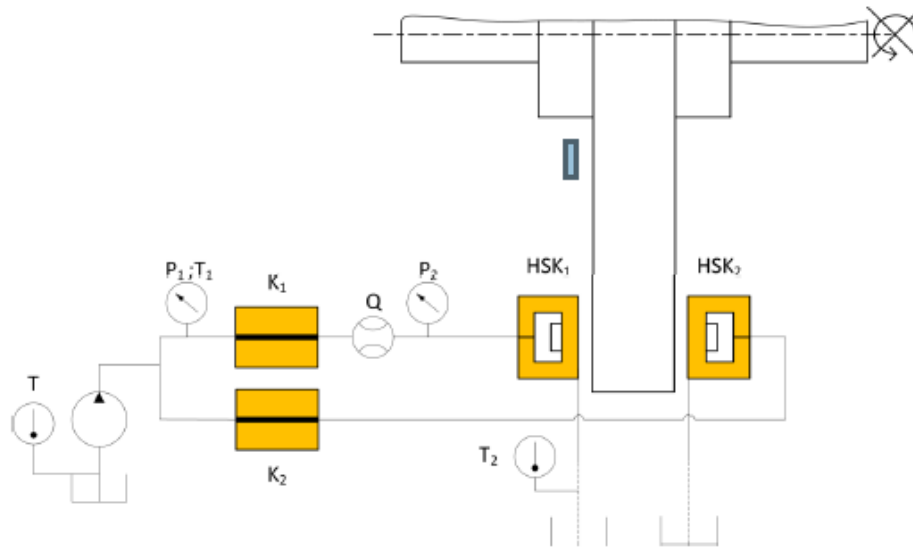
s následujícími okrajovými podmínkami

- na  $\Gamma_{\text{vstup}}$  předepisují vstupní parabolický rychlostní profil pro  $u_a$  a  $u_r = 0$
- na  $\Gamma_{\text{stěna}}$  předepisují tzv. "no-slip" podmínku, t.j.  $u_r = u_a = 0$
- na  $\Gamma_{\text{osa}}$  předepisují vzhledem k symetrii  $u_r = 0$
- na  $\Gamma_{\text{výstup}}$  předepisují tzv. "do-nothing" podmínku

### 5.1.2 Experimentální data

Pro možnost kontroly numerické simulace bylo provedeno experimentální měření, jehož schéma je na Obrázku 4. Parametry, které používáme při testovacím výpočtu jsou tyto:

- $Q$  - je průtok v celém systému z něhož získáme střední vtokovou rychlost tekutiny  $v_{\text{stř}}$
- $T$  - je teplota tekutiny díky níž určíme hodnotu dynamické viskozity  $\mu$
- $h$  - je výška škrťící mezery
- $p_2$  - je vstupní tlak



Obrázek 4: Schéma měření

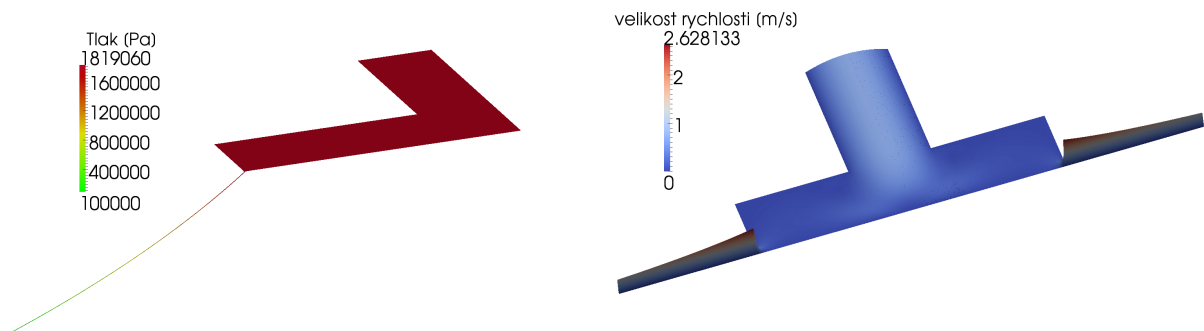
Naměřené a odvozené hodnoty použité v testovacím výpočtu jsou v Tabulce 1.

$Q$ [l/min]	$T$ [°C]	$h$ [m]	$p_2$ [Pa]	$v_{stř}$ [m/s]	$\mu$ [Ns/m <sup>2</sup> ]
0,576	28,34	$7,74 \cdot 10^{-5}$	1800236	0,3497	0,0669

Tabulka 1: Hodnoty pro porovnání s výpočtem

### 5.1.3 Testovací výpočet

Výsledky testovacího výpočtu jsou na Obrázcích 5-6. Na Obrázku 6 je i pro zajímavost detail singularity tlaku v místě kde tekutina vstupuje do škrťací mezery.



Obrázek 5: Průběh tlaku (vlevo) a rychlosti (vpravo) uvnitř kapsy





Obrázek 6: Proudnicie (vlevo) a singularita (vpravo)

Kontrolní hodnotou testovacího výpočtu je vstupní tlak. Ten se od naměřeného liší asi o 1%. Dá se tedy předpokládat, že náš model dobře simuluje proudění uvnitř hydrostatické kapsy. Výpočet se také shoduje s analytickým řešením, které je uvedeno v Holkup a kol. [3].

Ve své bakalářské práci jsem se také zabýval vlivem změny některých vstupních parametrů. Konkrétně změnou viskozity, a tedy Reynoldsova čísla, a změnou výšky škrťací mezery. Zde uvedu jen vliv změny Reynoldsova čísla.

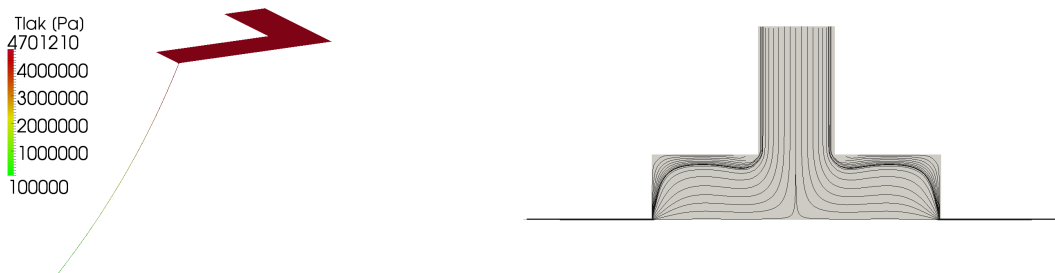
#### 5.1.4 Vliv změny Reynoldsova čísla

Parametr, který jsem v těchto výpočtech měnil, je dynamická viskozita  $\mu$ . Její hodnota se výrazně mění v závislosti na teplotě (více viz Holkup a kol. [3]). To je spojené se změnou Reynoldsova čísla, které je definováno jako bezrozměrné číslo  $R = \frac{LU}{\nu}$ , kde  $L$  označuje charakteristickou délku,  $U$  označuje charakteristickou rychlost a  $\nu = \frac{\mu}{\rho_0}$  je kinematická viskozita. Pro danou úlohu užívám jako  $L$  průměr na vstupu do kapsy a  $U$  rovnou střední vtokové rychlosti. V Tabulce 2 jsou uvedeny hodnoty teplot a jim odpovídající hodnoty dynamické viskozity a Reynoldsova čísla.

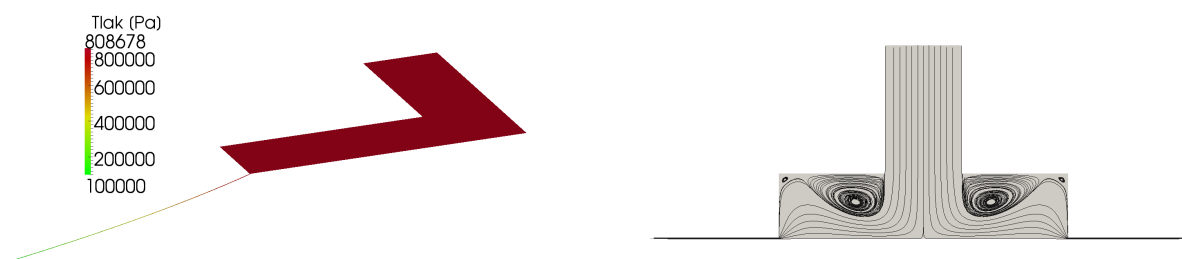
$T$ [°C]	10	20	28,34	40	50
$\mu$ [Ns/m <sup>2</sup> ]	0,179	0,101	0,0669	0,0403	0,0276
$Re$ [ - ]	5	9	14	23	33

Tabulka 2: Závislost dynamické viskozity a Reynoldsova čísla na teplotě

Výpočty byly provedeny se stejnými vstupními parametry jako v testovacím výpočtu, kromě hodnoty dynamické viskozity, kterou jsem měnil podle předchozí tabulky. Zde uvádím výsledky pouze pro hodnoty odpovídající 10°C a 50°C. Kompletní výsledky jsou uvedeny v Hanek [4]. Výstupem jsou grafy průběhu tlaku a proudnic na Obrázcích 7-8.



Obrázek 7: Průběh tlaku (vlevo) a proudnice (vpravo) uvnitř kapsy,  $\mu = 0,179$  [Ns/m<sup>2</sup>],  $R = 5$



Obrázek 8: Průběh tlaku (vlevo) a proudnice (vpravo) uvnitř kapsy,  $\mu = 0,0276$  [Ns/m<sup>2</sup>],  $R = 33$

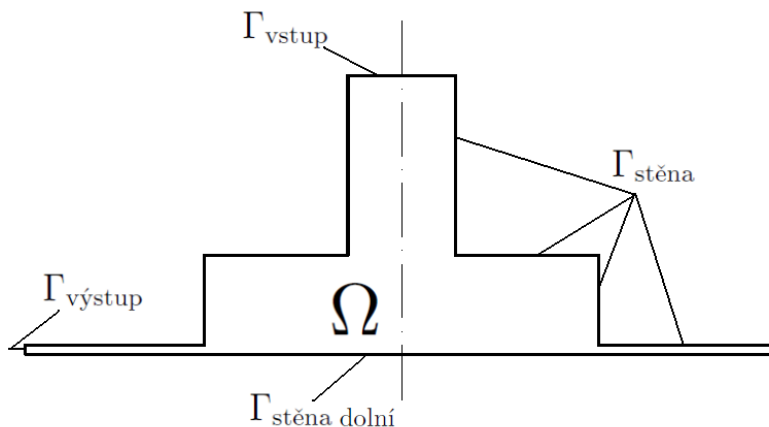
Z grafů je vidět, že při snižování hodnoty dynamické viskozity, tedy při zvyšování Reynoldsova čísla, nastává menší tlakový spád a zároveň se vytváří větší vír pod horní stranou kapsy.

## 5.2 3D úloha

3D úloha umožňuje simulovat proudění i za pohybu ložiska a tedy s nenulovou rychlostí dolní stěny oblasti řešení. Prvotním cílem 3D výpočtů je ale provést výpočet odpovídající parametrům z testovacího výpočtu 2D úlohy, a už to sebou nese problémy s konvergencí úlohy. Ty budou zřejmě způsobeny hodnotou výšky škrtkové mezery a tedy špatnou podmíněností některých konečných prvků, což je poměr nejdelší ku nejkratší hraně prvku. Dalšími problémy konvergence může být i reálná hodnota viskozity a případný pohyb dolní stěny.

Vzhledem k těmto problémům s konvergencí nejsem zatím schopen spočítat úlohu s reálnými parametry a ve svých výpočtech jsem se k nim zatím snažil co nejvíce přiblížit. Zde pro zajímavost uvedu výsledky s parametry blízcími se úloze s pohybem dolní stěny.

Oblast řešení je na Obrázku 9.



Obrázek 9: Okrajové podmínky 3D úlohy

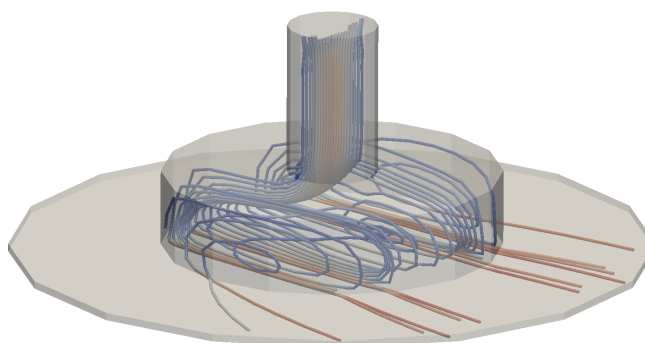
Použijí následující okrajovými podmínkami:

- na  $\Gamma_{\text{vstup}}$  předepisují vstupní paraboloidový rychlostní profil pro  $u_z$  a  $u_x = u_y = 0$
- na  $\Gamma_{\text{stěna}}$  předepisují tzv. "no-slip" podmínku, t.j.  $u = 0$
- na  $\Gamma_{\text{stěnadolní}}$  předepisují rychlost posuvu ložiska ve směru osy x t.j.  $u_x = u_{\text{dolní stěna}}$
- na  $\Gamma_{\text{výstup}}$  předepisují tzv. "do-nothing" podmínku

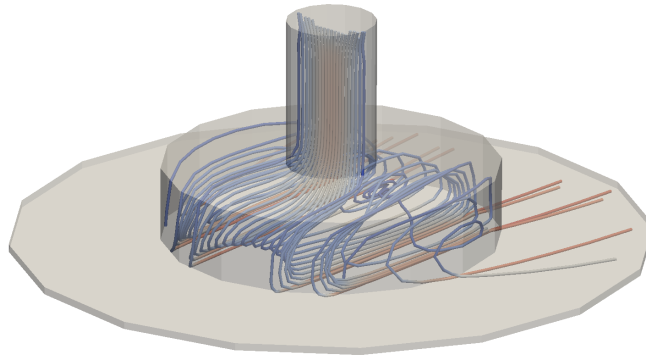
Výsledné řešení je potom na Obrázcích 10-11 s parametry uvedenými v Tabulce 3.

$v_{\text{stř}} \text{ [m/s]}$	$h \text{ [m]}$	$\mu \text{ [Ns/m}^2\text{]}$	$v_{\text{dolní stěna}} \text{ [m/s]}$
0,3497	0,001	0,809	1

Tabulka 3: Hodnoty parametrů pro testovací výpočet



Obrázek 10: Proudové trubice se zabarvením podle velikosti rychlosti (zadní pohled)



Obrázek 11: Proudové trubice se zbarvením podle velikosti rychlosti (přední pohled)

## 6 Závěr

V práci jsem se zabýval modelováním proudění v rotačně symetrické hydrostatické buňce pomocí Navierových-Stokesových rovnic. To vede na dva typy úloh - 2D úlohu, která odpovídá vedení za klidu a již jsem se zabýval ve své bakalářské práci, a 3D úlohu, která umožňuje simulaci i za pohybu ložiska ve vedení. Z výsledků pro 2D úlohu je vidět, že jsou pro testovací výpočet v dobré shodě s experimentem a tak dávají dobrou představu o proudění uvnitř hydrostatické kapsy za klidu vedení. Dále je vidět z analýzy vlivu změny Reynoldsova čísla, že velký vliv na vznik vírů má dynamická viskozita, která se výrazně mění s teplotou tekutiny. Z presentovaných výsledků pro 3D úlohu je vidět, že zatím nejsem schopen provést výpočty pro reálné parametry jako v případě 2D úlohy, ale pro úlohu s pohybem ložiska ve vedení dostáváme alespoň přibližnou představu o charakteru proudění.

## Literatura

- [1] Feistauer, M. *Mathematical methods in fluid dynamics*, John Wiley & Sons Inc., New York, 1993
- [2] Elman, H. C., Silvester, D. J., Wathen, A. J. *Finite elements and fast iterative solvers: with applications in incompressible fluid dynamics*, Oxford University Press, New York, 2005
- [3] Holkup, T., Sušeň, J., Stach, E., Hudec, J., Mareš, M., Morávek, M. *Závěrečná zpráva projektu 1.4.1.A za rok 2011*, ČVUT, Praha, 2011
- [4] Hanek, M. *Numerická simulace proudění v hydrostatické buňce*, ČVUT, Praha, 2012
- [5] Šístek, J. *Stabilization of finite element method for solving incompressible viscous flows*, Diplomová práce, ČVUT, Praha, 2004
- [6] Šístek, J., Sousedík, B., Burda, P., Mandel, J., Novotný, J. *Application of the parallel BDDC preconditioner to Stokes flow*, *Computers and fluids* 46, 429-435, 2011
- [7] Geuzaine, C., Remacle, J. F. *Gmsh: a three-dimensional finite element mesh generator with built-in pre- and post-processing facilities* [online], dostupné z <http://www.geuz.org/gmsh/.html>